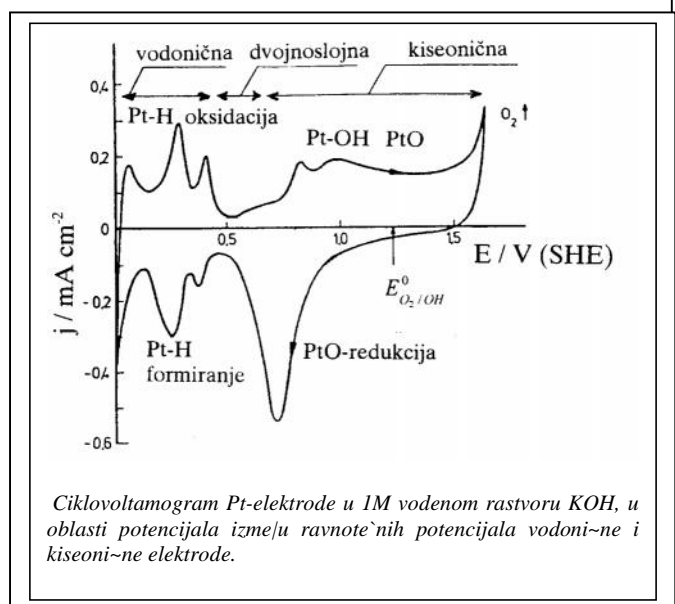
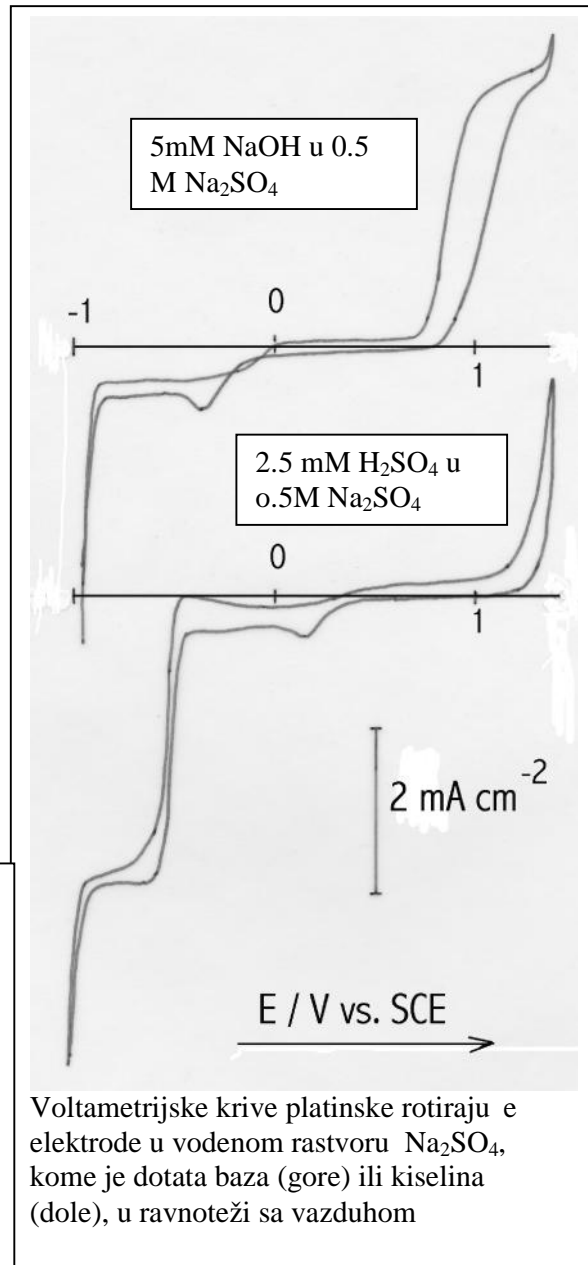
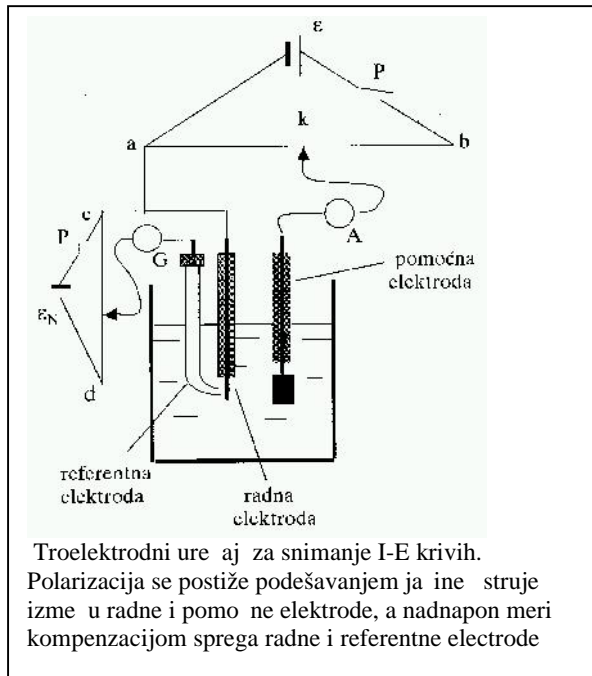


Kombinovane metode u elektrohemijskim istraživanjima

Elektrohemijska elija, voltamogrami faradejskih i adsorpcionih procesa:



Ciklovoltamogram Pt-elektrode u 1M vodenom rastvoru KOH, u oblasti potencijala između ravnotežnih potencijala vodonične i kiseonične elektrode.

Voltametrijske krive platinske rotirajuće elektrode u vodenom rastvoru Na₂SO₄, kome je dotata baza (gore) ili kiselina (dole), u ravnoteži sa vazduhom

Kvarcna mikrovaga (QCM-Quartz Crystal Microbalance)

Uvod

Kvarcna mikrovaga je uredjaj za merenje vrlo malih promena mase, na bazi promene rezonantne frekvencije kvarcnog kristala, do koje dolazi ako se masa kristala menja deponovanjem materijala na njegovim površinama. Njena osetljivost je oko 100 puta veća od elektronske mikrovage (u TGA) (koja je reda 0.001 mg). Stoga je QCM u stanju da meri promene mase reda mase dela atomskog monosloja. Pošto srazmernost rezonantne frekvencije i deponovane mase važi i kada je kristal uronjen u te nost, to daje mogunost primene u elektrohemiji za in-situ kontrolu debljine filma u raznim vidovima elektrohemihidske depozicije i rastvaranja, a osim toga i u *biohemiji i biotehnologiji*, proizvodnji i istraživanju lekova, *i osobina lubrikanata i petroleuma itd.*

Teorija QCM

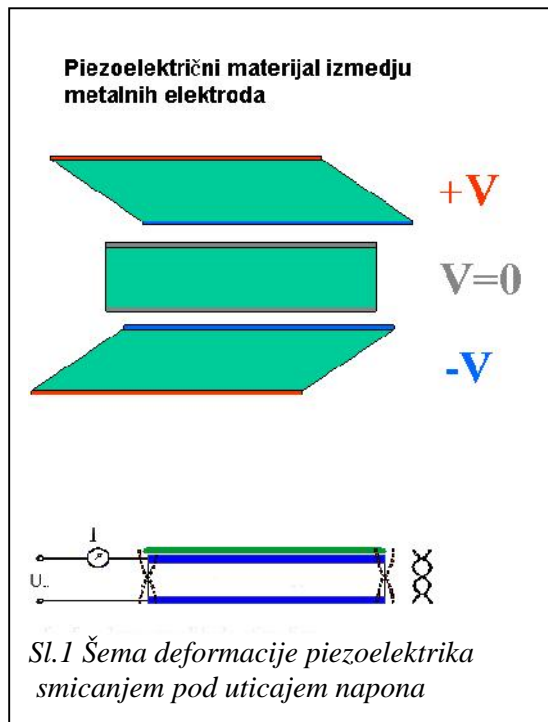
Rad QCM se zasniva na piezoelektričnom efektu. To je pojava karakteristika za neke tipove kristala, kod kojih električno polje može da indukuje mehaničku deformaciju, ili obratno. Jacques i Pierre Curie su otkrili piezoelektricitetne osobine kod kvarca 1880. Kvarc kristališe u

asimetričnoj prostornoj grupi, i kad se izlaže mehaničkoj deformaciji pod uticajem pritiska, proizvodi električno polje proporcionalno pritisku. Pritisak pomera jone u molekulama asimetrične strukture u odnosu na ravnotežni položaj, što izaziva dipolni moment, odnosno nailektrisanje nasuprotnih površina kristala.

Obratno, napon kroz kristal izaziva mehaničku deformaciju. Ovu pojavu ilustruje slika 1. Električno polje indukuje preorientaciju dipola što se odražava kao naprezanje rešetke i deformacija smicanjem. Smer smicanja zavisi od smera polja, a veličina od intenziteta polja.

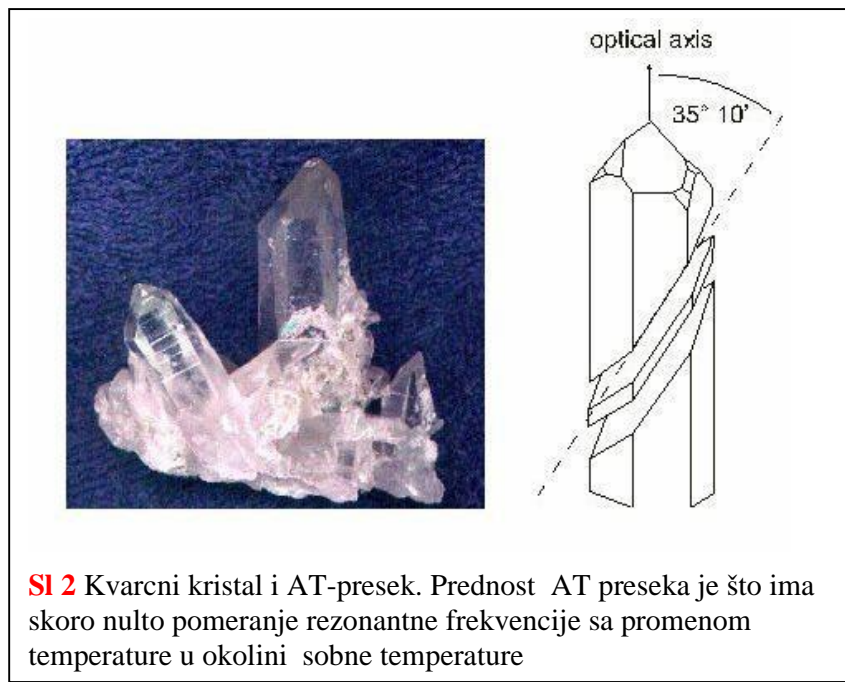
Kvarc je nastabilnija forma SiO_2 . Za primenu u mikrovagi se primjenjuje alfa-kvarc zbog najboljih mehaničkih i piezoelektričnih osobina. Ugao presecanja kristala određuje način oscilovanja. Takozvani AT presek koji se najčešće primjenjuje za QCM je pod uglom $35^{\circ}10'$ u odnosu na optičku osu, Slika 2, i ovaj presek obezbeđuje oscilaciju kristala prikazanu na slici 1..

Za potrebe QCM koristi se tanak išček alfa-kvarca u obliku diska, između dve metalne elektrode koje se nanose vakumskim naparavanjem na obe strane iščeka, obično od zlata, zbog toga što se zlato relativno lako nanosi vakumskim naparavanjem. Međutim, Cu, Ni, Pt i drugi metali mogu takođe da se koriste.

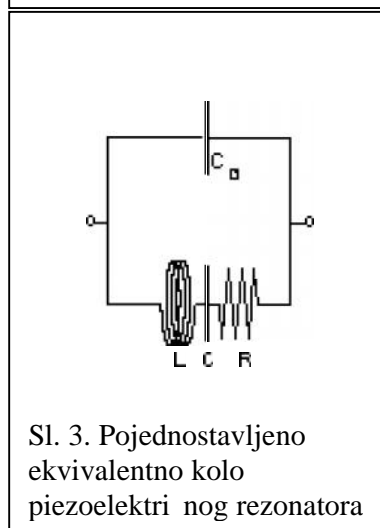


Kad se na elektrode dovodi naizmeni ni napon to izaziva vibraciju (oscilovanje) kvarcnog kristala. Rezultat vibracionog kretanja je transverzalni akusti ni talas kroz kristal koji se reflektuje o metalne površine. Stope i talas se formira ako je talasna dužina zvu nog talasa dvostruka debljina kristala i elektroda. Stoga, rezonantna frekvencija je u slede oj vezi sa debljinom kristala :

$$f_0 = \frac{v_q}{2l_q}$$



Sl. 2 Kvarcni kristal i AT-presek. Prednost AT preseka je što ima skoro nulto pomeranje rezonantne frekvencije sa promenom temperature u okolini sobne temperature



Sl. 3. Pojednostavljeno ekvivalentno kolo piezoelektri nog rezonatora

koju modifikuje masa nanesena na elektrodu i viskoznost sredine. Paralelna grana sa samo jednim kapacitivnim elementom Cs je šantiraju i kapacitet elektroda i kablova uredjaja. Pri rezonansi je impedansa kristala minimalna, odnosno, njena recipro na vrednost-admitansa ($Y = 1/Z$), je maksimalna. Admitansa je srazmerna struji pri zadatom radnom naponu. Na bilo kojoj frekvenciji, admitansa kristala je kompleksna veli ina koja se izražava intenzitetom i faznim uglom .

gde je v_q brzina zvu nog talasa u AT ise ku kvarca (3.34×10^4 m/sec), f_0 je rezonantna frekvencija pre promene mase, l_q je debljina kvarcnog disk. Ova jedna ina podrazumeva da je brzina zvuka u kvarcu i metalu ista, a debljina elektroda mala u poređenju sa debljinom kvarca. Tipi na radna frekvencija QCM je u rangu 5 do 10 MHz.

Kvarcni rezonator se može predstaviti rezonantnim ekvivalentnim kolom. Kolo ima dve grane. Grana koja sadrži L, R i C, je grana koja sadrži kvarcni disk i

Osnovne zavisnosti

Fundamentalna frekvencija QCM opada sa porastom mase na elektrodamama, porastom viskoznosti te nosti, i porastom hrapavosti elektrodnih povšina.

Veza promene frekvencije (Δf) i mase deponovane na površini kristala.

Promena mase, Δm , prouzrokovana adsorpcijom ili elektrohemijskim deponovanjem na jednoj strani QCM je u vezi sa promenom frekvencije Uf_m , po jedna ini (Sauerbrey, 1956)

$$\Delta f_m = -C_m \Delta m \quad (2)$$

gde je C_m konstanta proporcionalna kvadratu fundamentalne frekvencije, f_0 :

$$C_m = C_m^0 f_0^2 \quad (3)$$

Konstanta (C_m^0) odredjena je isključivo fizikalnim osobinama kvarca; za AT-presek

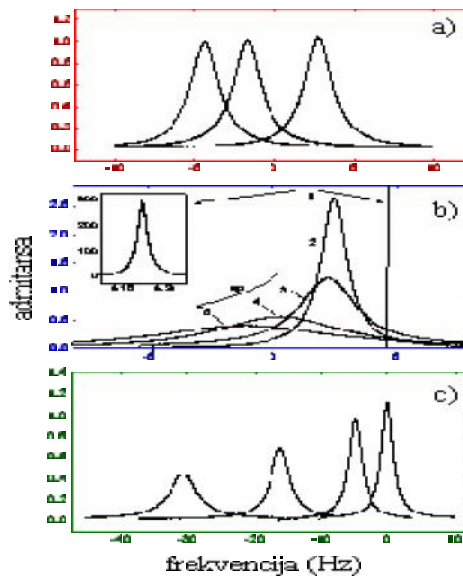
$$C_m^0 = 2.257 \times 10^{-6} \frac{\text{cm}^2}{\text{gm} \times \text{Hz}} \quad C_m = 0.0812 \frac{\text{Hz}}{\text{ng/cm}^2}$$

Δm se računa po jedinici površine, i obično se izražava u jedinicama ng/cm^2 .

Slika a) pokazuje slajanje depozicije metala QCM funkcioniše kao vaga. Rezonansna frekvencija opada sa rastom mase, ali oblik spektra (admitansa u funkciji frekvencije) ostaje stalan.

Slika b) pokazuje efekat viskoznosti na spekter admitanse. Ovde rezonansna frekvencija opet opada sa rastom viskoznosti, ali oblik spektra se dramatično menja.

Slika c) pokazuje promenu odgovora QCM sa porastom hrapavosti površine koja je u kontaktu sa tečnošću vodom).

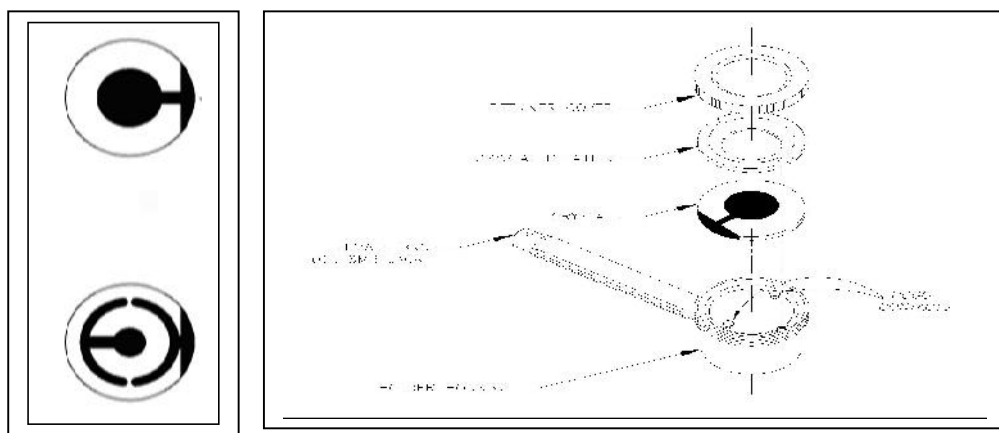
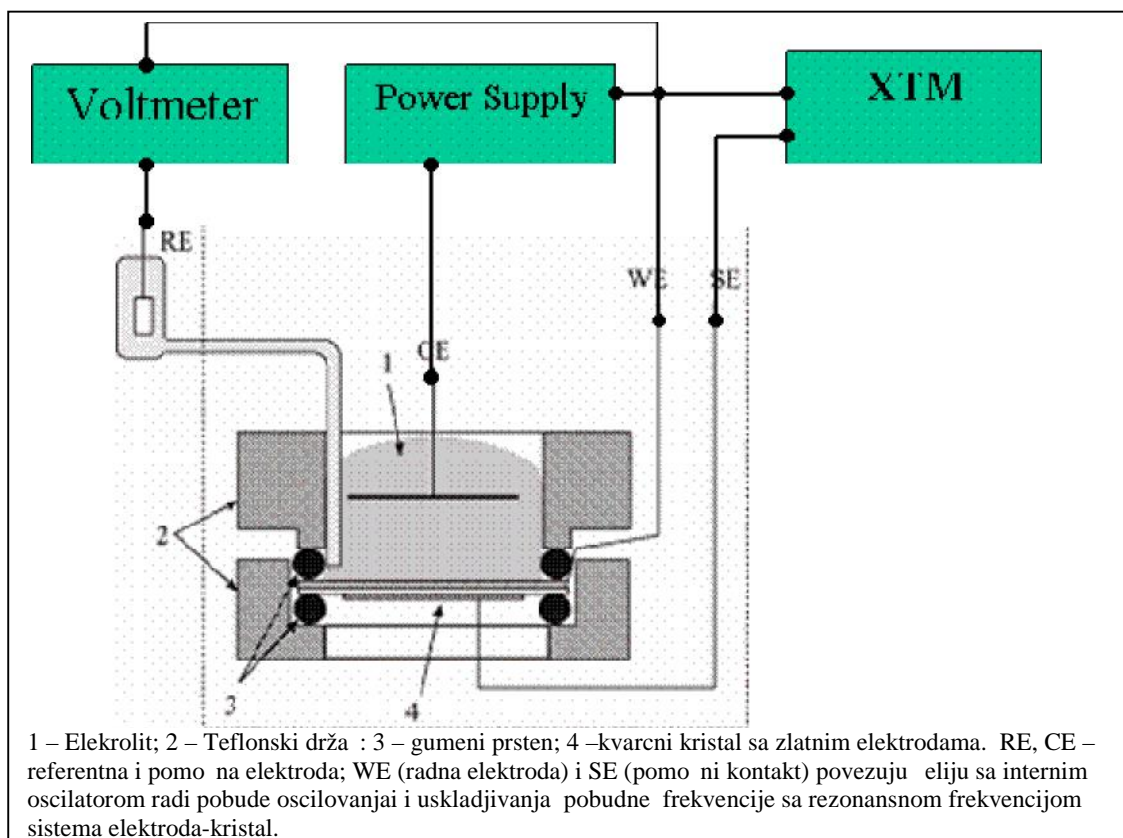


Promena rezonantne frekvencije zbog uticaja viskoznosti sredine data je jedna inom

$$\Delta f_\eta = -C_\eta (\eta \rho)^{1/2} = -\frac{C_m}{2\sqrt{\pi f}} (\eta \rho)^{1/2}, \quad (1)$$

gde su τ i η viskoznost i gustina te m mase. Ova jednostavna jednačina važi samo ako je površina kristala u kontaktu sa tečnošću idealno glatka. Relne površine nisu idealno glatke. Stoga reakcija QCM zavisi od morfologije površine pa za potrebe viskozimetrije uredjaj QCM treba kalibrirati (odrediti konstantu C_m) koristeći tečnost poznate viskoznosti i gustine (τ i η).

Šema QCM uređaja



Drža kvarcnog diska sa naparenim zlatnim elektrodama, levo: gornja i donja strana , desno: nosa kvarcnog diska i na in montiranja diska tako da kontakti u nosa u povezuju zlatni depozit sa uredjajem za polarizaciju jednosmernom strujom gornjeg zlatnog diska i uredjajem za pobudjivanje oscilovanja kvarcnog diska visokofrekventnom naizmeni nom strujom

Funkcionisanje QCM

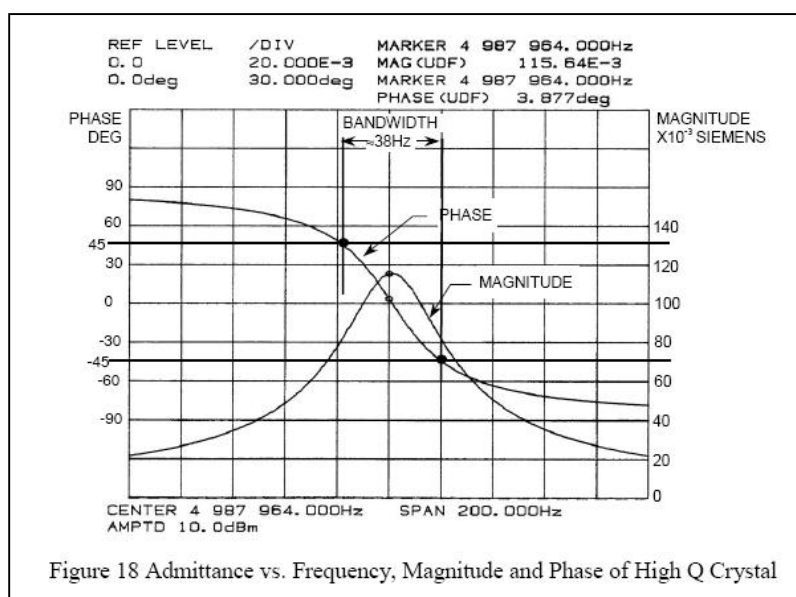


Figure 18 Admittance vs. Frequency, Magnitude and Phase of High Q Crystal

sopstvenoj frekvenciji kristala karakteristi an je po tome što je fazna razlika struje i napona kroz kristal jednaka nuli – po tome se prepoznaju rezonansni uslovi za kristal. Ja ina struje u tom momentu budu i direktno srazmerna admitansi je maksimalna, i može da se o ita na displeju mikrovage.

Ako zbog rasta mase na granici kristala njegova sopstvena frekvencija opada, pa stoga frekvencija pobudnog oscilatora (VCO) zastane na višoj vrednosti od rezonantne, struja kroz kristal kasni u odnosu na napon, i ova negativna **fazna razlika** može da dostigne i minus 90 stepeni ako razlika izmedu radne i rezonantne frekvencije nastavi da raste. Ako naprotiv, zbog pada mase na površini kristala frekvencija pobudnog oscilatora postane niža od rezonantne, struja kroz kristal prednja i u fazi za naponom i ova pozitivna fazna razlika može da dostigne 90 stepeni. Ako se pobudna frekvencija poklapa sa rezonantnom, fazna razlika jednaka je nuli.

Dok je uredjaj u radnom stanju, frekvencija pobudnog oscilatora se automatski izjednaava sa rezonantnom frekvencijom kristala. Na ina koji se to postiže je slede i:

Fazna razlika izmedju struje i napona kroz kristal se kontinualno prati fazno osjetljivim detektorom . Ako se zbog porasta mase elektrode (na primer zbog taloženja depozita tokom snimanja struja-potencijal krive) rezonantna frekvencija kristala, po jedna ini 2, otklanja naniže, pojavljuje se negativna fazna razlika izmedju napona i struje (struja kasni u fazi za naponom), što proizvodi negativan naponski signal na izlazu

Kvarcna mikrovaga sadrži interni oscilator VCO - Voltage Controlled Oscillator koji naizmeni nim naponom visoke frekvencije pokre e oscilovanje kristala, a kome se promenom ulaznog napona moze podešavati frekvencija. Osim toga, ugradjen je i fazno osjetljivi detektor koji meri struju kroz kristal (srazmerna admitansi) i faznu razliku izmedju struje i napona. Momenat kad je pobudna frekvencija jednaka

integracionog sistema fazno osetljivog detektora. Ovaj napon diktira smanjenje pobudne frekvencije VCO, do izjedna avanja sa sopstvenom frekvencijom kristala-elektrode, tako da se one kontinuirano održavaju medjusobno jednakim. Dok je frekvencija VCO jednaka sa sopstvenom frekvencijom kristala (rezonantni uslovi), struja kroz kristal ima maksimalnu vrednost koja se preko poja ava a o itava na displeju mikrovage ili na kompjuteru kojom se kontroliše njen rad.

Kalibracija

Kvantitativna interpretacija podataka EQCM se bazira na kombinaciji Sauerbrey-eve jednačine i Faradejevog zakona, ime se promena frekvencije korelira sa brojem kulona proteklih kroz elektrodu. Količina nanelektrisanja je merilo broja elektrona koji prodju kroz površinu elektrode. Pod uslovom da je kod elektrohemijske depozicije iskorišćenje struje 100%, tako da svakih n elektrona izdvaja jedan atom metala (i u oksidacioni broj n), imajući u vidu da je, po Faradejevom zakonu, izdvojena masa metala po jedinici površine: $m = MQ/nFA$, a po Sauerbrey-ovoj jednačini $\Delta f_m = -C_m \Delta m$, sledi da je zavisnost između Q i f linearna:

$$\Delta f = -C_m \frac{MQ}{nFA} \quad (4)$$

f = promena frekvencije u Hz,

M = molarna masa deponovene vrste, gram/mol,

C_m = Sauerbrey-jeva konstanta za dati kristal

Q = ukupno nanelektrisanje u kulonima,

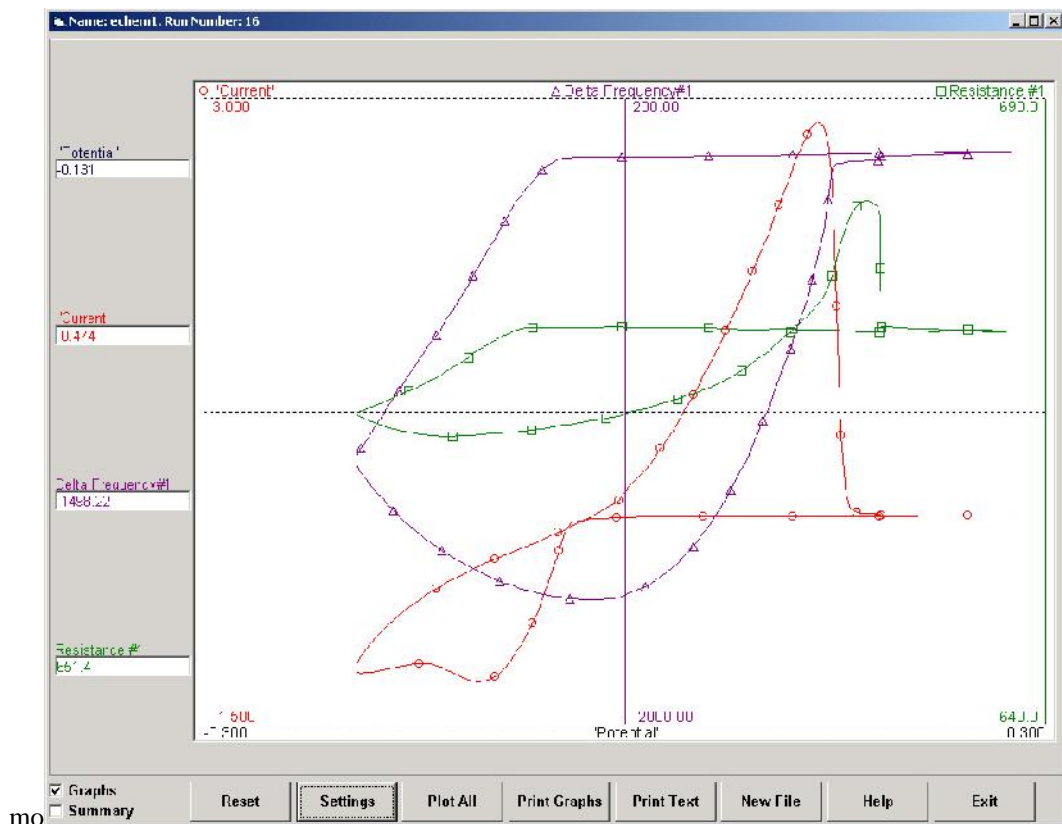
n = broj elektrona u elementarnom aktu depozicije (na primer $n=1$ za Ag).

A = aktivna površina radne elektrode (u kontaktu sa tečnošću) u cm^2 ,

F = Faradejeva konstanta = 9.648×10^4 kulona/mol,

EQCM se kalibriše da bi se odredila konstanta proporcionalnosti C_m , Sauerbrey-jeve jednačine za dati kristal i geometriju (efektivnu površinu) elektrode. Kalibracija se radi sa dobro definisanim elektrohemijskim reakcijama sa iskorišćenjem struje 100%, na primer, elektrodepozicijom srebra, bakra ili olova na zlatnoj ili platinskoj elektrodi.⁴⁶⁻⁴⁷⁻⁴⁸. Određivanjem promene frekvencije u funkciji proteklih količina elektriciteta. Iz nagiba dobijene prave prema jednačini (4) izračunava se konstanta C_m , koja se ubuduće može koristiti pri radu sa ovim elektrodnim sistemom u rastvorima bliske viskoznosti. (Da bi izbegli ovaj korak, u mnogim publikacijama, pored voltamograma posmatranog redoks procesa, daju se samo relativne promene frekvencije).

Sa poznatom konstantom Cm, može se iz nagiba f prema Q odrediti masa deponovane vrste po elektronu. Ovo se esto koristi u cilju verifikacije mehanizma redoks procesa.. Primer dijagrama koji može poslužiti za kalibraciju elije dat je na sledeoj slici.



Kontrola elektrohemijiskog deponovanja-rastvaranja bakra

Potencijal radne elektrode u odnosu na referentnu elektrodu, i struja kao funkcija potencijala se podešavaju i mere potenciostatom. Paralelno se meri promena rezonantne frekvencije kristala koji nosi radnu elektrodu. Gornja slika prikazuje

polureakcija	potencijal	
$Zn^{+2} + 2e^- \rightarrow Zn$	- 1.10	paralelni ciklovoltamogram i promenu
$Fe^{+2} + 2e^- \rightarrow Fe$	- 0.78	frekvencije pri katodnoj polarizaciji
$Pb^{+2} + 2e^- \rightarrow Pb$	- 0.47	elektrode kvarcne mikrovage u rastvoru
$2H^+ + 2e^- \rightarrow H_2$	- 0.34	koji sadrži 0.1 M CuSO ₄ , u 0.5 M H ₂ SO ₄
$Cu^{+2} + 2e^- \rightarrow Cu$	0.00	u vodi. Pri katodnoj polarizaciji u odnosu na
$Cu^+ + e^- \rightarrow Cu$	0.18	ravnotežni potencijal bakarne elektrode
$Fe^{+3} + e^- \rightarrow Fe^{+2}$	0.43	bakar se izdvaja, a pri anodnoj rastvara.
$Ag^+ + e^- \rightarrow Ag$	0.46	Minimum Δf (1490.22 Hz) pokazuje
$O_2 + 4H^{+2} + 4e^- \rightarrow 2H_2O$	0.89	potencijal na kome katodno taloženje
$Au^{+3} + 3e^- \rightarrow Au$	1.16	prelazi u anodno rastvaranje bakra.
		Anodne reakcije mogu biti izdvajanje
		kiseonika i anodno rastvaranje zlata.
		Nestanak zlatne elektrode uništava

rezonator. Izdvajanje mehuri a kiseonika proizvodi mehuri e i otežava merenje. Mehuri i se mogu pojaviti i zbog izdvajanja vodonika , pri katodnim polarizacijama manjim od - 0.34 V.

Da bi se izbegli ovi problemi, programski se definišu grani ne vrednosti potencijala Ako potencijal predje ove vrednosti struja se automatski isklju uje i pali se crvena signalna lampica da su uslovi prekora eni

Literatura

Osnovni principi rada I primene QCM na electrohemiske procese su opširno opisani u literaturi^(29 30)

²⁹ Mark Deakin and Daniel Buttry, "Electrochemical Applications of the Quartz Crystal Microbalance", Anal Chem, 61 (20) (1989) 183.

³⁰ Buttry, Daniel and Ward, Michael, "Measurement of Interfacial Processes at electrode surfaces with the EQCM", Chem. Rev. 92 (6) (1992) 1355.

U ve ini elektrohemiskih eksperimenata promena mase se dešava kada se material taloži ili rastvara sa radne elektrode. Od interesa je da se ove promene prate paralelno sa elektrohemiskim snimanjem voltametrijske krive. Kao prate a mikrovaga QCM je koriš ena u mnogim ispitivanjima : podpotencijalnoj depoziciji metala^(31 32 33 34) koroziji^(35,45) formiranju oksida⁽³⁶⁾ ispitivanju rastvaranja^(37) adsorpciono/desorpcionim procesima površinski aktivnih supstanci^(41 42 43) I promenama u elektroprovodnim polimernim filmovima tokom redoks procesa^(44)

³¹ O. Melroy, K. Kanazawa, J.G. Gordon II and D. Buttry, "Direct Determination of the Mass of an Underpotentially Deposited Monolayer of Lead on Gold", Langmuir 2 (1986) 697.

³² Mark R. Deakin and Owen Melroy, "Underpotential Metal Deposition on Au, monitored in situ with a Quartz Microbalance", J. Electroanal. Chem. 239 (1988) 321.

³³ Masahiro Seo, Masaki Aomi and Kengo Yoshida, "A combined Piezoelectric and EQCM study of Underpotential Deposition of Silver on Gold Electrodes", Electrochimica Acta, 39(8/9) (1994) 1039.

- ³⁴ Youngran Lim and Euijin Hwang, "An Electrochemical QCM study of Oxygen reduction during the Underpotential Deposition of Lead on a Gold Electrode", Bull. Korean Chem Soc. 17 (12) (1996) 1091.
- ³⁴ Storri, S, Santoni, T., Mascini, M., "A piezoelectric biosensor for DNA hybridization detection", Anal. Lett. 31 (11) (1998) 1795.
- ³⁵ Jope, Dirk, Sell, Joachim, Pickering, Howard W., Weil, Konrad G., "Application of a Quartz Crystal Microbalance to the Study of Copper Corrosion in Acid Solution Inhibited by Triazole-Iodide Protective Films", J. Electrochem. Soc., (142) 34881, 2170-2172.
- ³⁶ Jiang, Xiang Chun, Seo, Masahiro, Sato, Norio, "Piezoelectric Detection of Oxide Formation and Reduction on Platinum Electrodes", J. Electrochem. Soc., (138) 33239, 137-139.
- ³⁷ Benje, Michael, Eierman, Matthias, Pittermann, Udo, Weil, Konrad G., "An Improved Quartz Crystal Microbalance. Applications to the Electrocystallization and -dissolution of Nickel", Ber. Bunsen-Ges. Phys. Chem., 90 (1986) 435-439.
- ³⁸ Tudos, Anna J., Johnson, Dennis C., "Dissolution of Gold Electrodes in Alkaline Media Containing Cysteine", Anal. Chem., 67 (1995) 557-560.
- ³⁹ Schumacher, R., Muller, A., Stockel, W., "An In Situ Study on the Mechanism of the Electrochemical Dissolution of Copper in Oxygenated Sulphuric Acid - An Application of the Quartz Microbalance", J. Electroanal. Chem. Interfacial Electrochem., 219 (1987) 311-317.
- ⁴⁰ Ostrom, Gregory S., Buttry, Daniel A., "Quartz crystal microbalance studies of deposition and dissolution mechanisms of electrochromic films of diheptyliologen bromide", J. Electroanal. Chem. Interfacial Electrochem., 256 (1988) 411-431.
- ⁴¹ Auge, Jorg, Hauptmann, Peter, Eichelbaum, Frank and Rosler, Stephen, "QCM sensor in liquids", Sensors and Actuators B, 18-19 (1994) 518.
- ⁴² Mo, Yibo, Hwang, Euijin, Scherson, Daniel A., "Simultaneous Normalized Optical Reflectivity and Microgravimetric Measurements at Electrode/Electrolyte Interfaces: The Adsorption of Bromide on Gold in Aqueous Media", 67 (1995) 2415-2418.
- ⁴³ Schneider, Thomas W., Buttry, Daniel A., "Electrochemical Quartz Crystal Microbalance Studies of Adsorption and Desorption of Self-Assembled Monolayers of Alkyl Thiols on Gold", J. Am. Chem. Soc., 115 (1993) 12391-12397.
- ⁴⁴ Bott, Adrian W., "Characterization of Films Immobilized on an Electrode Surface Using the EQCM", Current Separations 18:3 (1999) 79.
45. M. Herranen and J.-O. Carlsson, **An electrochemical quartz crystal microbalance (EQCM) and in situ SFM study of Ti in sulphuric acid**, Corrosion Science 43 (2001) 365-379.